

УДК 532.51

ВОЛНОВЫЕ РЕЖИМЫ НА ПЛЕНКЕ НЕЛИНЕЙНО-ВЯЗКОЙ ЖИДКОСТИ, СТЕКАЮЩЕЙ ПО ВЕРТИКАЛЬНОЙ ПЛОСКОСТИ

О. Ю. Цвелодуб, В. Ю. Шушеначев

Институт теплофизики им. С. С. Кутателадзе СО РАН, 630090 Новосибирск
E-mail: tsvel@itp.nsc.ru

Рассматривается течение тонкой пленки нелинейно-вязкой жидкости, тензор напряжения которой моделируется степенным законом, стекающей по вертикальной стенке в поле тяжести. Для случая малых расходов в длинноволновом приближении получено уравнение, описывающее эволюцию возмущений поверхности. Найдена область линейной устойчивости тривиального решения, аналитически получены слабонелинейные стационарно-бегущие решения данного уравнения. Показано, как происходит ветвление семейств решений в особой точке нейтральной кривой.

Ключевые слова: реологическая жидкость, степенной закон, стекающая пленка, эволюционное уравнение.

1. Постановка задачи. Течения тонких пленок жидкости в поле тяжести привлекают внимание исследователей уже более полувека. Этот интерес вызван, в частности, широким использованием таких течений в различных технологических процессах.

В данной работе рассматривается течение пленки неньютоновской жидкости по вертикальной стенке в поле тяжести. В качестве реологического соотношения используется одна из наиболее известных моделей нелинейно-вязких жидкостей — модель степенной жидкости. Как известно, она достаточно хорошо описывает жидкости как с псевдопластическими, так и с дилатантными свойствами. Основной целью работы является получение модельного уравнения, позволяющего исследовать волновые режимы течения таких реологических пленок.

Рассмотрим течение тонкой пленки нелинейно-вязкой жидкости по вертикальной плоскости в поле тяжести. Схема течения и принятая система координат показаны на рис. 1.

Система уравнений Навье — Стокса и неразрывности, описывающая движение такой пленки, имеет вид

$$\begin{aligned} \frac{\partial \mathbf{u}}{\partial t} + (\mathbf{u} \nabla) \mathbf{u} &= -\frac{\nabla p}{\rho} + \mathbf{g} + \frac{1}{\rho} \operatorname{Div} \tau, \\ \operatorname{div} \mathbf{u} &= 0, \end{aligned} \quad (1)$$

где g — ускорение свободного падения; ρ — плотность жидкости; $\operatorname{Div} \tau$ — дивергенция тензора напряжений. Реология жидкости моделируется степенным законом, инвариантная форма которого имеет вид [1]

$$\tau_{ik} = 2\mu_n (2D_{kl} D_{kl})^{(n-1)/2} D_{ik}, \quad D_{ik} = \frac{1}{2} \left[\frac{\partial u_i}{\partial x_k} + \frac{\partial u_k}{\partial x_i} \right].$$

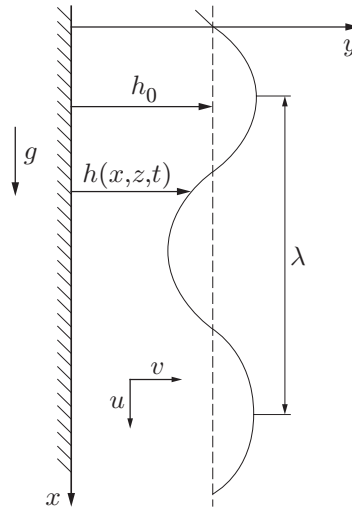


Рис. 1. Схема течения

Здесь τ_{ik} — тензор напряжений; D_{ik} — тензор скоростей деформаций. Постоянная μ_n — показатель консистенции жидкости, параметр n характеризует степень неньютоновского поведения.

Чем больше n отличается от единицы, тем отчетливее проявляется аномалия вязкости в такой среде [2]. Значениям $0 < n < 1$ отвечают псевдопластические жидкости, кажущаяся вязкость которых убывает с ростом скоростей сдвига, а значениям $n > 1$ — дилатантные жидкости, у которых кажущаяся вязкость с ростом скоростей сдвига увеличивается.

При любых расходах жидкости задача (1) допускает решения с плоской свободной поверхностью $h(x, z, t) = h_0$, удовлетворяющие условиям прилипания на твердой стенке и отсутствию касательных напряжений на свободной границе. В этом случае профиль скорости течения имеет вид

$$U(y) = U_0 \left[1 - \left(1 - \frac{y}{h_0} \right)^{(n+1)/n} \right], \quad U_0 = \frac{n}{n+1} \left(\frac{\rho g}{\mu_n} \right)^{1/n} h_0^{(n+1)/n}. \quad (2)$$

Однако даже при малых расходах течение (2) вследствие неустойчивости может стать волновым. Для описания таких режимов запишем уравнения движения в безразмерном виде. Пусть L — характерный продольный размер возмущения. Тогда, используя L/U_0 , U_0 , $\rho g h_0$ как масштабы времени, скорости и давления, а L и h_0 — масштабы в направлениях x , z и y соответственно, запишем уравнения движения для пленки в виде (знаки обезразмеривания опускаем):

$$\begin{aligned} \varepsilon \frac{\partial u}{\partial t} + \varepsilon u \frac{\partial u}{\partial x} + v \frac{\partial u}{\partial y} + \varepsilon w \frac{\partial u}{\partial z} &= \frac{1}{\text{Fr}} \left(1 - \varepsilon \frac{\partial p}{\partial x} \right) + \frac{1}{\text{Re}} \left(\varepsilon \frac{\partial \tau_{xx}}{\partial x} + \frac{\partial \tau_{xy}}{\partial y} + \varepsilon \frac{\partial \tau_{xz}}{\partial z} \right), \\ \varepsilon \frac{\partial v}{\partial t} + \varepsilon u \frac{\partial v}{\partial x} + v \frac{\partial v}{\partial y} + \varepsilon w \frac{\partial v}{\partial z} &= -\frac{1}{\text{Fr}} \frac{\partial p}{\partial y} + \frac{1}{\text{Re}} \left(\varepsilon \frac{\partial \tau_{yx}}{\partial x} + \frac{\partial \tau_{yy}}{\partial y} + \varepsilon \frac{\partial \tau_{yz}}{\partial z} \right), \\ \varepsilon \frac{\partial w}{\partial t} + \varepsilon u \frac{\partial w}{\partial x} + v \frac{\partial w}{\partial y} + \varepsilon w \frac{\partial w}{\partial z} &= -\frac{\varepsilon}{\text{Fr}} \frac{\partial p}{\partial z} + \frac{1}{\text{Re}} \left(\varepsilon \frac{\partial \tau_{zx}}{\partial x} + \frac{\partial \tau_{zy}}{\partial y} + \varepsilon \frac{\partial \tau_{zz}}{\partial z} \right), \\ \varepsilon \frac{\partial u}{\partial x} + \frac{\partial v}{\partial y} + \varepsilon \frac{\partial w}{\partial z} &= 0. \end{aligned} \quad (3)$$

Динамические граничные условия на твердой ($y = 0$) и свободной ($y = h(x, z, t)$) границах имеют вид

$$u = v = w = 0, \quad y = 0,$$

$$(p - p_0 - \text{We}(K_1 + K_2))n_i - (\text{Fr} / \text{Re})\tau_{ik}n_k = 0, \quad y = h(x, z, t). \quad (4)$$

Здесь u, v, w — компоненты скорости вдоль осей x, y и z соответственно; p — давление в жидкости; p_0 — внешнее давление (без ограничения общности в дальнейшем его можно полагать равным нулю); n_i — компоненты вектора нормали:

$$\mathbf{n} = (-\varepsilon h_x, 1, -\varepsilon h_z) / \sqrt{1 + \varepsilon^2 h_x^2 + \varepsilon^2 h_z^2};$$

K_i — безразмерные главные кривизны свободной поверхности:

$$K_1 + K_2 = \frac{(1 + \varepsilon^2 h_x^2)\varepsilon h_{zz} - 2\varepsilon^3 h_x h_z h_{xz} + (1 + \varepsilon^2 h_z^2)\varepsilon h_{xx}}{(1 + \varepsilon^2 h_x^2 + \varepsilon^2 h_z^2)^{3/2}}$$

(здесь и ниже индексы у h означают дифференцирование по соответствующей переменной); τ_{ik} — компоненты тензора напряжений:

$$\begin{aligned} \tau_{xx} &= 2I^{(n-1)/2}\varepsilon \frac{\partial u}{\partial x}, & \tau_{yy} &= 2I^{(n-1)/2} \frac{\partial v}{\partial y}, & \tau_{zz} &= 2I^{(n-1)/2}\varepsilon \frac{\partial w}{\partial z}, \\ \tau_{xy} = \tau_{yx} &= I^{(n-1)/2} \left(\frac{\partial u}{\partial y} + \varepsilon \frac{\partial v}{\partial x} \right), & \tau_{xz} = \tau_{zx} &= I^{(n-1)/2} \varepsilon \left(\frac{\partial u}{\partial z} + \frac{\partial w}{\partial x} \right), \\ \tau_{yz} = \tau_{zy} &= I^{(n-1)/2} \left(\varepsilon \frac{\partial v}{\partial z} + \frac{\partial w}{\partial y} \right), \end{aligned} \quad (5)$$

где I — второй инвариант тензора скоростей деформаций:

$$I = 2 \left[\varepsilon^2 \left(\frac{\partial u}{\partial x} \right)^2 + \left(\frac{\partial v}{\partial y} \right)^2 + \varepsilon^2 \left(\frac{\partial w}{\partial z} \right)^2 \right] + \left(\frac{\partial u}{\partial y} + \varepsilon \frac{\partial v}{\partial x} \right)^2 + \varepsilon^2 \left(\frac{\partial u}{\partial z} + \frac{\partial w}{\partial x} \right)^2 + \left(\varepsilon \frac{\partial v}{\partial z} + \frac{\partial w}{\partial y} \right)^2.$$

В (3)–(5) в качестве параметров входят: $\varepsilon = h_0/L$, число Рейнольдса $\text{Re} = \rho h_0^n / (\mu_n U_0^{n-2})$, число Фруда $\text{Fr} = U_0^2 / (g h_0)$, число Вебера $\text{We} = \sigma / (\rho g h_0^2)$.

На свободной границе выполняется также кинематическое условие

$$\varepsilon \left(\frac{\partial h}{\partial t} + u \frac{\partial h}{\partial x} + w \frac{\partial h}{\partial z} \right) = v, \quad y = h(x, z, t). \quad (6)$$

Используя (2), нетрудно показать, что при произведенном выборе характерных масштабов справедливо соотношение

$$\text{Re} = ((n+1)/n)^n \text{Fr}.$$

В дальнейшем ограничимся рассмотрением длинноволновых возмущений, полагая, что $\varepsilon \ll 1$ и числа Рейнольдса достаточно малы — $\text{Re} \approx 1$.

Для применения метода многих масштабов (см. [3]) введем набор быстрых и медленных времен и новые функции:

$$\begin{aligned} \tau_m &= \varepsilon^m t, & m &= 0, 1, 2, \dots, \\ u &= U + \varepsilon u', & v &= \varepsilon^2 v', & w &= \varepsilon^2 w', & p &= p_0 + \varepsilon p', & h &= 1 + \varepsilon h'. \end{aligned} \quad (7)$$

Пренебрегая членами порядка ε^2 и выше и перенося граничные условия со свободной поверхности на ее невозмущенный уровень (т. е. разлагая все функции по степеням $\varepsilon h'$), приходим к системе (штрихи у возмущенных величин опускаем):

$$\begin{aligned} \varepsilon \left(\frac{\partial u}{\partial \tau_0} + U \frac{\partial u}{\partial x} + v \frac{dU}{dy} + \frac{1}{\text{Fr}} \frac{\partial p}{\partial x} \right) &= \\ &= \frac{n}{\text{Re}} \frac{\partial}{\partial y} \left(\frac{\partial u}{\partial y} \left(\frac{dU}{dy} \right)^{n-1} \right) + (n-1) \frac{\varepsilon}{\text{Re}} \frac{\partial}{\partial y} \left(\left[n \left(\frac{\partial u}{\partial y} \right)^2 + \frac{1}{2} \left(\frac{\partial w}{\partial y} \right)^2 \right] \left(\frac{dU}{dy} \right)^{n-2} \right), \end{aligned}$$

$$\begin{aligned} \frac{1}{\text{Fr}} \frac{\partial p}{\partial y} &= \frac{\varepsilon}{\text{Re}} \left(\left[n \frac{\partial}{\partial x} \left(\frac{\partial u}{\partial y} \right) + \frac{\partial}{\partial z} \left(\frac{\partial w}{\partial y} \right) \right] \left(\frac{dU}{dy} \right)^{n-1} + 2 \frac{\partial}{\partial y} \left(\frac{\partial v}{\partial y} \left(\frac{dU}{dy} \right)^{n-1} \right) \right), \\ \varepsilon \left(\frac{\partial w}{\partial \tau_0} + U \frac{\partial w}{\partial x} + \frac{1}{\text{Fr}} \frac{\partial p}{\partial z} \right) &= \frac{1}{\text{Re}} \frac{\partial}{\partial y} \left(\frac{\partial w}{\partial y} \left(\frac{dU}{dy} \right)^{n-1} \right) + (n-1) \frac{\varepsilon}{\text{Re}} \frac{\partial}{\partial y} \left(\left(\frac{\partial u}{\partial y} \frac{\partial w}{\partial y} \frac{dU}{dy} \right)^{n-2} \right); \\ \frac{\partial u}{\partial x} + \frac{\partial v}{\partial y} + \frac{\partial w}{\partial z} &= 0 \end{aligned} \quad (8)$$

со следующими граничными условиями:

$$\begin{aligned} u = v = w = 0, \quad y = 0, \\ 0 = \left(nu_y \left(\frac{dU}{dy} \right)^{n-1} - \left(\frac{n+1}{n} \right)^n h \right) + \varepsilon \left(nh \frac{\partial}{\partial y} \left[u_y \left(\frac{dU}{dy} \right)^{n-1} \right] + \right. \\ \left. + (n-1) \left(\frac{dU}{dy} \right)^{n-2} \left[n \left(\frac{\partial u}{\partial y} \right)^2 + \frac{1}{2} \left(\frac{\partial w}{\partial y} \right)^2 \right] \right), \quad y = 1, \\ \varepsilon \left(p + \varepsilon \frac{\partial p}{\partial y} h - \text{We} \varepsilon^2 \Delta h \right) = 2 \frac{\text{Fr}}{\text{Re}} \varepsilon^2 \left(\frac{dU}{dy} \right)^{n-1} \frac{\partial v}{\partial y}, \quad y = 1, \\ 0 = \left(w_y \left(\frac{dU}{dy} \right)^{n-1} \right) + \varepsilon \left(h \frac{\partial}{\partial y} \left[w_y \left(\frac{dU}{dy} \right)^{n-1} \right] + (n-1) \left(\frac{dU}{dy} \right)^{n-2} \frac{\partial u}{\partial y} \frac{\partial w}{\partial y} \right), \quad y = 1. \end{aligned} \quad (9)$$

В условии (9) $\Delta = \partial^2/\partial x^2 + \partial^2/\partial z^2$ — оператор Лапласа. Здесь оставлены члены более высокого порядка по ε , так как для тонких пленок многих жидкостей значения We обычно велики, поэтому полагаем, что $\text{We} \gg 1$, $\text{We} \varepsilon^2 \approx 1$.

Кинематическое условие (6) теперь принимает вид

$$v + \varepsilon \frac{\partial v}{\partial y} h = h_{\tau_0} + \varepsilon h_{\tau_1} + h_x + \varepsilon u h_x + \varepsilon w h_z, \quad y = 1. \quad (10)$$

Решение задачи (8), (9) ищем в виде рядов по ε

$$(u, v, p, h) = \sum_{m=0}^{\infty} \varepsilon^m (u^m, v^m, p^m, h^m). \quad (11)$$

Приравнявая в исходной системе коэффициенты при одинаковых степенях ε к нулю, из уравнений для нулевого порядка нетрудно получить выражения

$$\begin{aligned} u^0(x, y, z, t) &= \frac{n+1}{n} (1 - (1-y)^{1/n}) h^0, \\ v^0(x, y, z, t) &= -\frac{n+1}{n} \left[y + \frac{n}{n+1} ((1-y)^{(n+1)/n} - 1) \right] h_x^0, \\ w^0(x, y, z, t) &= 0, \quad p^0|_{y=1} = \text{We} \varepsilon^2 \Delta h^0. \end{aligned} \quad (12)$$

Подставляя (12) в (10), получим уравнение, описывающее поведение возмущений в первом приближении, а именно

$$h_{\tau_0} + c_0 h_x = 0, \quad c_0 = (n+1)/n.$$

Отсюда следует, что в этом приближении все возмущения распространяются с постоянной скоростью, в c_0 раз большей скорости течения на свободной плоской границе, т. е.

$$h = h(\xi), \quad \xi = x - c_0 \tau_0.$$

Рассмотрев очередное приближение, после громоздких, но несложных вычислений получаем выражения для следующих членов рядов (11):

$$\begin{aligned}
 u^1(x, y, z, t) &= c_0^{1-n} \left(c_0^n h^1 [1 - (1 - y)^{1/n}] - \right. \\
 &\quad \left. - \frac{\text{Re}}{n} \left[(1 - yz)^{(n+1)/n} - \frac{n}{2(2n+1)} (1 - z)^{(2n+2)/n} - \frac{3n+2}{2(2n+2)} \right] h_x^0 + \right. \\
 &\quad \left. + \frac{\text{Re}}{\text{Fr}} \frac{\partial p^0}{\partial x} \frac{1}{n+1} [(1 - z)^{(n+1)/n} - 1] + c_0^n \frac{(h^0)^2}{n} [1 - (1 - z)^{(1-n)/n}] \right), \\
 v^1(x, y, z, t) &= -c_0^{1-n} \left(c_0^n I_1 h_x^1 - \frac{\text{Re}}{n} h_{xx}^0 I_2 + \frac{\text{Re}}{\text{Fr}} \frac{I_3}{n+1} \frac{\partial^2 p^0}{\partial x^2} + 2c_0^n \frac{I_4}{n} + \frac{n}{n+1} \frac{\text{Re}}{\text{Fr}} \frac{\partial^2 p^0}{\partial y^2} I_3 \right), \\
 w^1(x, y, z, t) &= c_0^{1-n} \frac{n}{n+1} \frac{\text{Re}}{\text{Fr}} \frac{\partial p^0}{\partial y} [(1 - y)^{(n+1)/n} - 1]. \tag{13}
 \end{aligned}$$

Здесь

$$\begin{aligned}
 I_1 &= y + \frac{n}{n+1} [(1 - y)^{(n+1)/n} - 1], \\
 I_2 &= \frac{n}{2n+1} [1 - (1 - y)^{(2n+1)/n}] - \frac{n^2}{2(2n+1)(3n+2)} [1 - (1 - y)^{(3n+2)/n}] - \frac{3n+2}{2(2n+1)} y, \\
 I_3 &= \frac{n}{2n+1} [1 - (1 - y)^{(2n+1)/n}] - y, \quad I_4 = y + n[(1 - y)^{1/n} - 1].
 \end{aligned}$$

Подставляя (13) в формулу (10), получаем нелинейное уравнение для определения h

$$h_{\tau_1} + 2 \frac{c_0}{n} h h_x + \frac{2(n+1)^2 c_0^{1-n}}{n(2n+1)(3n+2)} \text{Re} h_{xx} + \frac{c_0^{1-n}}{2n+1} \frac{\text{Re}}{\text{Fr}} \text{We} \varepsilon^2 (\Delta h_{xx} + n \Delta h_{zz}) = 0. \tag{14}$$

Это уравнение описывает эволюцию пространственных возмущений на вертикальной пленке степенной жидкости в системе отсчета, движущейся со скоростью c_0 относительно стенки.

С помощью замен

$$h = aH, \quad x_1 = bx, \quad z_1 = bz, \quad \tau = dt, \tag{15}$$

где

$$\begin{aligned}
 a &= \frac{4(n+1)^3 c_0^{-n}}{(2n+1)(3n+2)} \text{Re} \sqrt{\frac{2 \text{Fr}}{n(3n+2) \text{We} \varepsilon^2}}, \\
 b &= (n+1) \sqrt{\frac{2 \text{Fr}}{n(3n+2) \text{We} \varepsilon^2}}, \quad d = \frac{4(n+1)^4 c_0^{1-n}}{n^2(2n+1)(3n+2)^2} \frac{\text{Re} \text{Fr}}{\text{We} \varepsilon^2},
 \end{aligned}$$

уравнение (14) преобразуется к виду

$$\frac{\partial H}{\partial \tau} + 4H \frac{\partial H}{\partial x} + \frac{\partial^2 H}{\partial x^2} + \left(\frac{\partial^2}{\partial x^2} + \frac{\partial^2}{\partial z^2} \right) \left(\frac{\partial^2}{\partial x^2} + n \frac{\partial^2}{\partial z^2} \right) H = 0. \tag{16}$$

Преобразования (15), в частности, означают, что используемый в разложении малый параметр ε равен

$$\varepsilon = \sqrt{\frac{2(n+1)^2}{n(3n+2)c_0^n} \frac{\text{Re}}{\text{We}}} \tag{17}$$

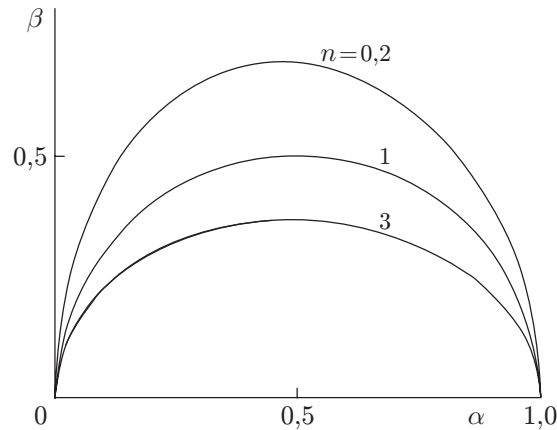


Рис. 2. Нейтральные кривые при различных значениях параметра n

и, соответственно, характерный продольный размер возмущений определяется равенством

$$L = \sqrt{\frac{n(3n+2)c_0^n}{2(n+1)^2} \frac{We}{Re}} h_0.$$

Как видно из (17), предположение о длинноволновости рассматриваемых возмущений будет выполняться, как и в случае ньютоновских жидкостей, для больших значений числа Вебера.

Для случая плоских возмущений уравнение (16) совпадает с уравнением, описывающим волны на поверхности пленки ньютоновской жидкости [4]:

$$\frac{\partial H}{\partial \tau} + 4H \frac{\partial H}{\partial x} + \frac{\partial^2 H}{\partial x^2} + \frac{\partial^4 H}{\partial x^4} = 0. \quad (18)$$

В настоящее время оно широко известно как уравнение Курамото — Сивашинского (К-С). Уравнение К-С достаточно подробно исследовано, известны многие его решения (см., например, [5, 6]). При $n = 1$ уравнение (16) переходит в уравнение из работы [7], описывающее пространственные волны для ньютоновской жидкости.

Уравнение (16) является типичным примером модельных уравнений, возникающих при исследовании эволюции возмущений в активно-диссипативных средах. Действительно, линейный анализ устойчивости тривиального решения $H = 0$ показывает, что оно неустойчиво относительно возмущений вида $\exp[i\alpha(x - c\tau) + i\beta z]$ с компонентами волнового вектора (α, β) , лежащими внутри области, ограниченной нейтральной кривой

$$n\beta^4 + (n+1)\alpha^2\beta^2 + \alpha^4 - \alpha^2 = 0. \quad (19)$$

Такие возмущения экспоненциально нарастают (а возмущения с волновыми числами, лежащими вне области, ограниченной кривой (19), затухают). За счет действия нелинейных эффектов дальнейший рост неустойчивых возмущений прекращается, в результате чего могут сформироваться установившиеся стационарно-бегущие режимы. Графики кривых (19) для нескольких n представлены на рис. 2.

2. Аналитические результаты. Очевидно, что уравнение (16) имеет решения, распространяющиеся под углом к направлению течения невозмущенного потока (к оси x). Действительно, с помощью замен

$$\xi_1 = a_1(x + b_1 z), \quad t_1 = a_1^2 \tau, \quad a_1^4 = 1/((1 + b_1^2)(1 + nb_1^2)), \quad H_1 = a_1 H(t_1, \xi_1),$$

уравнение (16) преобразуется в уравнение (18). Отсюда следует, что уравнение (16) имеет решения в виде плоских волн, распространяющихся под углом к оси x , тангенс которого удовлетворяет соотношению $\operatorname{tg} \psi = b_1$. Таким образом, эти, фактически одномерные, решения получаются простым пересчетом решений уравнения К-С, поэтому в дальнейшем ограничимся исследованием решений уравнения (16), бегущих вдоль потока.

Для стационарно-бегущих решений $H = H(\xi, z)$, $\xi = x - ct$ уравнение (16) переходит в

$$-c \frac{\partial H}{\partial \xi} + 4H \frac{\partial H}{\partial \xi} + \frac{\partial^2 H}{\partial \xi^2} + \left(\frac{\partial^2}{\partial \xi^2} + \frac{\partial^2}{\partial z^2} \right) \left(\frac{\partial^2}{\partial \xi^2} + n \frac{\partial^2}{\partial z^2} \right) H = 0. \quad (20)$$

Будем рассматривать периодические решения уравнения (20) с волновыми числами α, β в ξ - и z -направлениях соответственно.

Так как уравнение (20) инвариантно относительно преобразований

$$\begin{aligned} H &\rightarrow H + \text{const}, & c &\rightarrow c + 4 \text{const}, \\ H &\rightarrow -H, & c &\rightarrow -c, & \xi &\rightarrow -\xi, \end{aligned}$$

в дальнейшем ограничимся только симметричными по z решениями

$$H(\xi, z) = H(\xi, -z), \quad (21)$$

для которых выполнено следующее условие нормировки:

$$c \geq 0, \quad \int_0^{\lambda_z} \int_0^{\lambda_\xi} H(\xi, z) d\xi dz = 0, \quad \lambda_\xi = \frac{2\pi}{\alpha}, \quad \lambda_z = \frac{2\pi}{\beta}. \quad (22)$$

На плоскости (α, β) пространственные периодические решения уравнения (20) бесконечно малой амплитуды ответвляются от тривиального решения по кривой (19). Логично предположить, что решения малой, но конечной амплитуды существуют в окрестности этой кривой. Поэтому для волновых чисел из этой окрестности будем искать решение в виде ряда по малому параметру ϵ

$$H = \epsilon H_1 + \epsilon^2 H_2 + \dots, \quad c = \epsilon c_1 + \epsilon^2 c_2 + \dots \quad (23)$$

Следуя [3], введем набор быстрых и медленных переменных

$$\xi_m = \epsilon^m \xi, \quad z_m = \epsilon^m z, \quad m = 0, 1, 2, \dots$$

Тогда операции дифференцирования в (20) представляются в виде

$$\begin{aligned} \frac{\partial}{\partial \xi} &= \frac{\partial}{\partial \xi_0} + \epsilon \frac{\partial}{\partial \xi_1} + \epsilon^2 \frac{\partial}{\partial \xi_2} + \dots, \\ \frac{\partial^2}{\partial \xi^2} &= \frac{\partial^2}{\partial \xi_0^2} + 2\epsilon \frac{\partial^2}{\partial \xi_0 \partial \xi_1} + \epsilon^2 \left(\frac{\partial^2}{\partial \xi_1^2} + 2 \frac{\partial^2}{\partial \xi_0 \partial \xi_2} \right) + \dots, \\ \frac{\partial}{\partial z} &= \frac{\partial}{\partial z_0} + \epsilon \frac{\partial}{\partial z_1} + \epsilon^2 \frac{\partial}{\partial z_2} + \dots, \\ \frac{\partial^2}{\partial z^2} &= \frac{\partial^2}{\partial z_0^2} + 2\epsilon \frac{\partial^2}{\partial z_0 \partial z_1} + \epsilon^2 \left(\frac{\partial^2}{\partial z_1^2} + 2 \frac{\partial^2}{\partial z_0 \partial z_2} \right) + \dots, \\ \left(\frac{\partial^2}{\partial x^2} + \frac{\partial^2}{\partial z^2} \right) \left(\frac{\partial^2}{\partial x^2} + n \frac{\partial^2}{\partial z^2} \right) &= \left[\frac{\partial^4}{\partial \xi_0^4} + (n+1) \frac{\partial^4}{\partial \xi_0^2 \partial z_0^2} + n \frac{\partial^4}{\partial z_0^4} \right] + \\ &+ \epsilon \left[4 \frac{\partial^4}{\partial \xi_0^3 \partial \xi_1} + 4n \frac{\partial^4}{\partial z_0^3 \partial z_1} + (2n+2) \frac{\partial^4}{\partial \xi_0^2 \partial z_0 \partial z_1} + (2n+2) \frac{\partial^4}{\partial z_0^2 \partial \xi_0 \partial \xi_1} \right] + \end{aligned} \quad (24)$$

$$\begin{aligned}
& + \epsilon^2 \left[4 \left(\frac{\partial^2}{\partial \xi_0 \partial \xi_1} + n \frac{\partial^2}{\partial z_0 \partial z_1} \right) \left(\frac{\partial^2}{\partial \xi_0 \partial \xi_1} + \frac{\partial^2}{\partial z_0 \partial z_1} \right) + \right. \\
& \quad + \left(\frac{\partial^2}{\partial \xi_0^2} + n \frac{\partial^2}{\partial z_0^2} \right) \left(\frac{\partial^2}{\partial \xi_1^2} + 2 \frac{\partial^2}{\partial \xi_0 \partial \xi_2} + \frac{\partial^2}{\partial z_1^2} + 2 \frac{\partial^2}{\partial z_0 \partial z_2} \right) + \\
& \quad \left. + \left(\frac{\partial^2}{\partial \xi_0^2} + \frac{\partial^2}{\partial z_0^2} \right) \left(\frac{\partial^2}{\partial \xi_1^2} + 2 \frac{\partial^2}{\partial \xi_0 \partial \xi_2} + n \frac{\partial^2}{\partial z_1^2} + 2n \frac{\partial^2}{\partial z_0 \partial z_2} \right) \right] + \dots
\end{aligned}$$

Подставляя ряды (23) в (20) и собирая — с учетом (24) — члены при одинаковых степенях ϵ , получаем бесконечную систему линейных дифференциальных уравнений. Первому порядку в этой системе отвечает уравнение

$$\frac{\partial^2 H_1}{\partial \xi_0^2} + \left(\frac{\partial^2}{\partial \xi_0^2} + \frac{\partial^2}{\partial z_0^2} \right) \left(\frac{\partial^2}{\partial \xi_0^2} + n \frac{\partial^2}{\partial z_0^2} \right) H_1 = 0.$$

Требую, чтобы решение удовлетворяло условиям (22), получаем

$$H_1 = (A e^{i\alpha \xi_0} + \bar{A} e^{-i\alpha \xi_0}) (a e^{i\beta z_0} + \bar{a} e^{-i\beta z_0}), \quad (25)$$

где A , a — функции медленных координат; черта означает операцию комплексного сопряжения; α , β принадлежат нейтральной кривой (19). Для того чтобы искомое решение удовлетворяло требованию симметрии (21), A должно быть функцией только ξ_1, ξ_2, \dots , а a — зависеть только от z_1, z_2, \dots .

Второму порядку соответствует уравнение

$$\begin{aligned}
-c_1 \frac{\partial H_1}{\partial \xi_0} + 2 \frac{\partial H_1^2}{\partial \xi_0} + 2 \frac{\partial^2 H_1}{\partial \xi_0 \partial \xi_1} + 4 \left[\frac{\partial^4 H_1}{\partial^3 \xi_0 \partial \xi_1} + n \frac{\partial^4 H_1}{\partial^3 z_0 \partial z_1} + \frac{n+1}{2} \frac{\partial^4 H_1}{\partial^2 \xi_0 \partial z_0 \partial z_1} + \right. \\
\left. + \frac{n+1}{2} \frac{\partial^4 H_1}{\partial^2 z_0 \partial \xi_0 \partial \xi_1} \right] + \frac{\partial^2 H_2}{\partial \xi_0^2} + \left(\frac{\partial^2}{\partial \xi_0^2} + \frac{\partial^2}{\partial z_0^2} \right) \left(\frac{\partial^2}{\partial \xi_0^2} + n \frac{\partial^2}{\partial z_0^2} \right) H_2 = 0. \quad (26)
\end{aligned}$$

Здесь необходимо сделать следующее замечание. Определение вида A и a из рассмотрения высших приближений позволяет найти связь между поправками к компонентам волнового вектора α и β и значением модуля амплитуды первой гармоники. Но, зная, например, поправку $\Delta\alpha$ к α , можно сказать, что найдено решение вблизи другой точки на нейтральной кривой (19), у которой $\alpha_1 = \alpha + \Delta\alpha$. Поэтому можно считать, что в (25) $A = \text{const}$ и включать ее в a . Другими словами, будем искать решения конечной амплитуды, жестко фиксируя значение α -компоненты волнового вектора. Это удастся сделать почти всюду за исключением окрестностей некоторых выделенных точек. С учетом этого замечания из условия отсутствия в (26) секулярных членов следуют соотношения

$$\frac{\partial a}{\partial z_1} = 0, \quad c_1 = 0,$$

а решение уравнения (26), удовлетворяющее условиям нормировки (22), имеет вид

$$H_2 = -\frac{i}{3\alpha} e^{i2\alpha \xi_0} (a^2 e^{i2\beta z_0} + \bar{a}^2 e^{-i2\beta z_0}) - \frac{2|a|^2 i}{\alpha(4\alpha^2 - 1)} e^{i2\alpha \xi_0} + \text{к.с.} \quad (27)$$

(здесь и ниже к.с. означает операцию комплексного сопряжения).

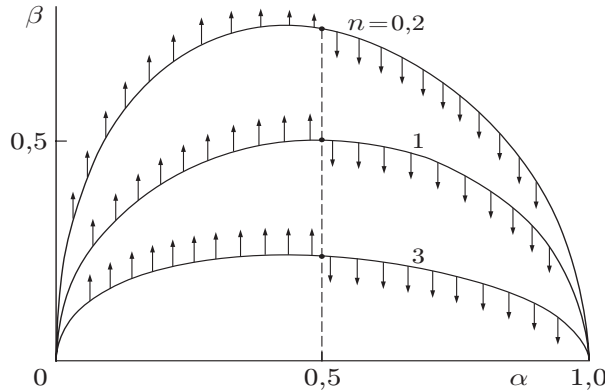


Рис. 3. Характер ветвления

Приближение третьего порядка по ϵ дает уравнение

$$-c_2 \frac{\partial H_1}{\partial \xi_0} + 4 \frac{\partial H_1 H_2}{\partial \xi_0} + 4 \left[n \frac{\partial^4 H_1}{\partial^3 z_0 \partial z_2} + \frac{n+1}{2} \frac{\partial^4 H_1}{\partial^2 \xi_0 \partial z_0 \partial z_2} \right] + \frac{\partial^2 H_3}{\partial \xi_0^2} + \left(\frac{\partial^2}{\partial \xi_0^2} + \frac{\partial^2}{\partial z_0^2} \right) \left(\frac{\partial^2}{\partial \xi_0^2} + n \frac{\partial^2}{\partial z_0^2} \right) H_3 = 0. \quad (28)$$

Выделяя в (28) секулярные члены и приравнивая их к нулю, получим

$$c_2 = 0, \quad i\beta(2n\beta^2 + (n+1)\alpha^2) \frac{\partial a}{\partial z_2} - \frac{2(4\alpha^2 + 5)}{3(4\alpha^2 - 1)} a|a|^2 = 0. \quad (29)$$

Решение уравнения (29) имеет вид $a = a_0 e^{i\phi z_2}$.

Из двух последних соотношений следует, что поправка ϕ к компоненте волнового вектора β связана со значением амплитуды a_0 следующим образом:

$$\phi = -\frac{2(4\alpha^2 + 5)|a_0|^2}{3\alpha^2\beta(4\alpha^2 - 1)\sqrt{(n-1)^2\alpha^2 + 4n}}. \quad (30)$$

Как следует из (25), (27) и (30), в качестве малого параметра ϵ можно использовать само значение модуля амплитуды a_0 . Из (30) видно, что для любых значений n при $\alpha > 0,5$ поправка ϕ отрицательная. Это значит, что решения малой, но конечной амплитуды отходят от тривиального решения в область его линейной неустойчивости — мягкий тип ветвления. Для значений $\alpha < 0,5$ поправка ϕ положительная, т. е. ветвление происходит в область линейной устойчивости тривиального решения, — ветвление жесткого типа. Вышесказанное иллюстрирует рис. 3.

При стремлении β к нулю, а α — к единице решение (27) остается ограниченным, но значение для поправки ϕ неограниченно растет. В этой области решение можно построить, если фиксировать значения β -компоненты волнового вектора и искать поправки к α . В этой ситуации также можно построить равномерно пригодное разложение (23).

При стремлении α к 0,5 значение β стремится к

$$\beta^* = \sqrt{-\frac{n+1}{8n} + \frac{1}{8n} \sqrt{(n-1)^2 + 16n}}.$$

При этом наряду с неограниченным ростом поправки ϕ неограниченно растет и решение (27), и разложение (25), (27), (29) становится несправедливым. Это связано с тем, что для решения с волновым вектором первой гармоники из окрестности $(\alpha = 0,5, \beta^*)$

волновой вектор одной из гармоник второго приближения ($2\alpha = 1, \beta = 0$) также лежит в окрестности нейтральной кривой (19). Это значит, что окрестность точки ($\alpha = 0,5, \beta^*$) требует особого рассмотрения.

В окрестности этой точки вместо (25) следует брать выражение:

$$H_1 = A e^{i\xi_0/2} (a e^{i\beta^* z_0} + \bar{a} e^{-i\beta^* z_0}) + N e^{i\xi_0} + \text{к.с.} \quad (31)$$

Так как здесь выбирается вполне определенная точка на нейтральной кривой (19), то полагать в (31) $A = \text{const}$ нельзя, необходимо считать ее функцией медленных координат ξ_m , $m = 1, 2, \dots$

Из приближения второго порядка для H_2 в этом случае имеем выражение

$$H_2 = A_1 e^{i\alpha\xi_0} (a^2 e^{i2\beta^* z_0} + \bar{a}^2 e^{-i2\beta^* z_0}) + A_2 e^{i(3/2)\alpha\xi_0} (a e^{i\beta^* z_0} + \bar{a} e^{-i\beta^* z_0}) + N_1 e^{i2\alpha\xi_0} + \text{к.с.}, \quad (32)$$

где

$$A_1 = -\frac{iA^2}{2\beta^{*2}((n+1) + 4n\beta^{*2})}, \quad A_2 = -\frac{6iAN}{45/16 + \beta^{*2}((9/4)(n+1) + n\beta^{*2})}, \quad N_1 = -\frac{i}{3} N^2,$$

а требование отсутствия секулярных членов приводит к системе

$$a \frac{\partial N}{\partial \xi_1} + c_1 N - 4A^2 |a|^2 = 0, \quad (33)$$

$$\beta^* \left(4n\beta^{*2} + \frac{n+1}{2} \right) A \frac{\partial a}{\partial z_1} - \left(\frac{1}{2} - (n+1)\beta^{*2} \right) a \frac{\partial A}{\partial \xi_1} + \frac{c_1}{2} Aa - 2\bar{A}Na = 0.$$

Решения системы (33), для которых (31), (32) удовлетворяют условиям симметрии (21) и нормировки (22), имеют вид

$$A = A_0 e^{i\delta\xi_1}, \quad a = a_0 e^{i\phi z_1}, \quad N = N_0 e^{2i\delta\xi_1}. \quad (34)$$

Здесь амплитуды A_0 , a_0 , N_0 — функции более медленных координат, чем ξ_1 и z_1 . Подставляя (34) в (33), получаем систему, связывающую поправки к волновым числам δ и ϕ со значениями амплитуд A_0 , a_0 , N_0 :

$$-(c_1 + 4i\delta)N_0 + 4A_0^2 |a_0|^2 = 0, \quad (35)$$

$$A_0 a_0 (-c_1 + 4(\bar{A}_0/A_0)N_0 - f(n)i\phi + g(n)i\delta) = 0,$$

где

$$f(n) = 2\beta^{*2}(4n\beta^{*2} + (n+1)/2) > 0, \quad g(n) = 1 - 2(n+1)\beta^{*2} \leq 0.$$

Из условия существования нетривиальных решений системы (33), в частности, следует соотношение

$$-c_1^2 + [(g-4)\delta - f\phi]ic_1 + 16|A_0|^2 |a_0|^2 + 4f\phi\delta - 4g\delta^2 = 0. \quad (36)$$

В отличие от рассмотренного выше решения (25), (27), (30) уравнение (36) выполняется в двух существенно различных случаях. В первом случае, когда $c_1 = 0$, имеем

$$\phi = (g(n)\delta - 4|A_0 a_0|^2 / \delta) / f(n), \quad N_0 = -iA_0^2 |a_0|^2 / \delta. \quad (37)$$

Геометрия области существования решений этого типа на плоскости (δ, ϕ) для значений $n \neq 1$ показана на рис. 4 штриховкой. Из (37) следует, что такое решение ответвляется от тривиального решения по линии $\phi = g(n)\delta / f(n)$, являющейся касательной к нейтральной кривой в особой точке ($\alpha = 0,5, \beta^*$). Сравнивая (25), (27) и (31), (32), (37), легко

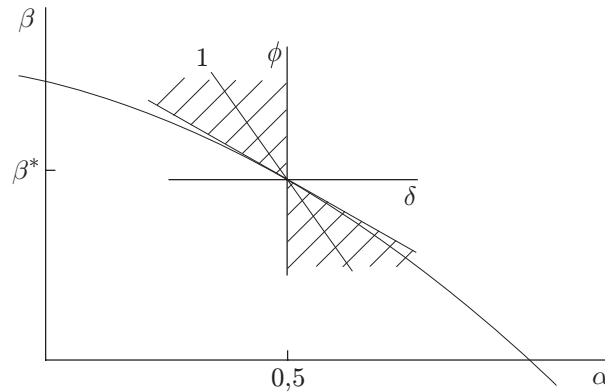


Рис. 4. Область существования решений в особой точке при $n \neq 1$

заметить, что эти решения принадлежат одному и тому же семейству. Аналогично классификации волновых режимов течения пленки ньютоновской жидкости (см., например, [8, 9]), будем называть его первым пространственным семейством.

Интересен второй случай, когда $c_1 \neq 0$, для чего необходимо, чтобы

$$\phi = \frac{g(n) - 4}{f(n)} \delta. \tag{38}$$

С учетом (38) из (35) получаем

$$c_1^2 = 16(|A_0|^2|a_0|^2 - \delta^2). \tag{39}$$

Таким образом, как следует из (37)–(39), от первого пространственного семейства (31), (32)–(39) по линии (38) ответвляются два семейства решений со значениями фазовых скоростей $c_1 \neq 0$. Принятому условию нормировки (22) отвечает одно из них — $c_1 > 0$.

В отличие от первого пространственного семейства, где различным значениям амплитуд $|A_0 a_0|$ и $|N_0|$ отвечают различные значения δ и ϕ , семейство решений с $c_1 \neq 0$ бифурцирует, не отклоняясь в этом приближении от линии (38) (на рис. 4 это линия 1). Для него одним и тем же значениям δ и ϕ отвечают различные решения, у которых с ростом пространственной гармоники $|A_0 a_0|$ увеличивается значение скорости c_1 . Из (35) и (38) следует, что при этом модули амплитуд пространственной и плоской гармоник равны $|N_0| = |A_0||a_0|$.

Полученное в работе уравнение (16) можно использовать для моделирования волновых процессов в стекающих пленках нелинейно-вязких жидкостей. Представленные здесь аналитические результаты решения уравнения (16) будут использоваться в качестве начального приближения при численных расчетах режимов, у которых волновые числа лежат достаточно далеко от нейтральной кривой (19).

ЛИТЕРАТУРА

1. Шульман З. П., Байков В. И. Реодинамика и тепломассообмен в пленочных течениях. Минск: Наука и техника, 1979.
2. Кутепов А. А., Полянин А. Д., Запрынов З. Д. и др. Химическая гидродинамика. М.: Бюро Квантум, 1996. С. 248–254.
3. Найфэ А. Введение в методы возмущений. М.: Мир, 1984.
4. Непомнящий А. А. Устойчивость волновых режимов в пленке, стекающей по наклонной плоскости // Изв. АН СССР. Механика жидкости и газа. 1974. № 3. С. 28–34.

5. **Tsvlodub O. Yu., Trifonov Yu. Ya.** On steady-state travelling solutions of an evolution equation describing the behaviour of disturbances in active dissipative media // *Physica D*. 1989. V. 34. P. 255–269.
6. **Трифонов Ю. Я., Цвелодуб О. Ю.** О стационарно-бегущих решениях эволюционного уравнения для возмущений в активно-диссипативной среде. Новосибирск, 1988. (Препр. / Ин-т теплофизики СО АН СССР; № 188-88).
7. **Непомнящий А. А.** Устойчивость волновых режимов в пленке жидкости относительно трехмерных возмущений // *Гидродинамика: Сб. науч. тр. Пермь: Изд-во Пенз. гос. ун-та, 1974. Вып. 5. С. 91–104.*
8. **Котыченко Л. Н., Цвелодуб О. Ю.** Пространственные волновые режимы на поверхности тонкой вязкой пленки жидкости. Новосибирск, 1991. (Препр. / Ин-т теплофизики СО АН СССР; № 252-91).
9. **Tsvlodub O. Yu., Kotychenko L. N.** Spatial wave regimes on the surface of a thin viscous liquid film // *Physica D*. 1993. V. 63. P. 361–377.

*Поступила в редакцию 29/VI 2004 г.,
в окончательном варианте — 24/VII 2004 г.*
